

## АСИМПТОТИКА ТЕЧЕНИЙ ЖИДКОСТИ СО СВОБОДНОЙ ПОВЕРХНОСТЬЮ

УДК 532.526 : 532.516

А. Б. Усов

Ростовский государственный университет, 344006 Ростов-на-Дону

В данной работе построена асимптотика решения плоской задачи о движении сжимаемой вязкой жидкости со свободной поверхностью. В [1–5] эта задача решается при дополнительных предположениях о несжимаемости жидкости или стационарности, маловязкости течения, малости касательных нагрузок. Случай произвольной касательной нагрузки на свободной поверхности сжимаемой жидкости и возникающие при этом нестационарные пограничные слои не изучены. Подход, рассматриваемый здесь, позволил построить асимптотику решения на малых временах без дополнительных предположений при произвольных касательных и нормальных напряжениях на свободной поверхности. Пограничный слой строится для растяжения пространственной и временной координат. Обосновывается выбор параметров растяжения, указывается метод решения возникающих уравнений пограничного слоя.

**1. Постановка задачи.** Рассматривается плоская изотермическая задача о движении сжимаемой вязкой жидкости, занимающей нижнюю полуплоскость, на свободную поверхность которой действуют заданные силы. Движение жидкости в неподвижной декартовой системе координат  $xOz$  с центром в произвольной точке свободной поверхности жидкости (рис. 1) описывается системой уравнений Навье — Стокса, граничными и начальными условиями, которые в безразмерной форме, согласно [2; 6, с. 808; 7, с. 156], записываются в виде (при  $\mu = \text{const}$ )

$$\begin{aligned} M^2 \left( \frac{\partial \Pi}{\partial t} + v_x \frac{\partial \Pi}{\partial x} + v_z \frac{\partial \Pi}{\partial z} \right) + \frac{\partial v_x}{\partial x} + \frac{\partial v_z}{\partial z} &= 0, \\ \rho \left( \frac{\partial v_x}{\partial t} + v_x \frac{\partial v_x}{\partial x} + v_z \frac{\partial v_x}{\partial z} \right) &= -\rho \frac{\partial \Pi}{\partial x} + \rho F_x + \\ &+ \frac{1}{Re} \left( \frac{\partial^2 v_x}{\partial x^2} + \frac{\partial^2 v_x}{\partial z^2} + \frac{1}{3} \frac{\partial}{\partial x} \left( \frac{\partial v_x}{\partial x} + \frac{\partial v_z}{\partial z} \right) \right), \quad (1.1) \\ \rho \left( \frac{\partial v_z}{\partial t} + v_x \frac{\partial v_z}{\partial x} + v_z \frac{\partial v_z}{\partial z} \right) &= -\rho \frac{\partial \Pi}{\partial z} + \rho F_z + \frac{1}{Re} \left( \frac{\partial^2 v_z}{\partial x^2} + \frac{\partial^2 v_z}{\partial z^2} + \frac{1}{3} \frac{\partial}{\partial z} \left( \frac{\partial v_x}{\partial x} + \frac{\partial v_z}{\partial z} \right) \right), \\ p = D\rho, \quad \Pi &= \int \frac{dp}{\rho(\Pi)} = D \ln p; \end{aligned}$$

$$v_x = v_z = 0, \quad \rho = \rho_*, \quad p = D\rho_*, \quad \Pi = D \ln(D\rho_*), \quad t = 0; \quad (1.2)$$

$$\mathbf{v} \rightarrow \mathbf{0}, \quad \nabla \cdot \mathbf{v} \rightarrow 0, \quad \rho \rightarrow \rho_*, \quad p \rightarrow D\rho_*, \quad x^2 + z^2 \rightarrow \infty; \quad (1.3)$$

$$p = T_n + \frac{2}{Re} \left( n_x^2 \frac{\partial v_x}{\partial x} + n_z^2 \frac{\partial v_z}{\partial z} + n_x n_z \left( \frac{\partial v_z}{\partial x} + \frac{\partial v_x}{\partial z} \right) \right) - \frac{2}{3} \frac{1}{Re} \operatorname{div} \mathbf{v} \quad \text{при } z = \zeta(x, t), \quad (1.4)$$

$$\frac{1}{Re} \left( (n_x \tau_z + n_z \tau_x) \left( \frac{\partial v_z}{\partial x} + \frac{\partial v_x}{\partial z} \right) + 2 \left( n_x \tau_x \frac{\partial v_x}{\partial x} + n_z \tau_z \frac{\partial v_z}{\partial z} \right) \right) = T_\varphi \quad \text{при } z = \zeta(x, t);$$

$$\begin{aligned} \frac{d\zeta}{dt} &= v_z, \quad \Delta = \sqrt{1 + (\partial\zeta/\partial x)^2}, \quad n_z = -1/\Delta, \\ n_x &= \frac{\partial\zeta}{\partial x} \frac{1}{\Delta}, \quad \tau_z = -n_x, \quad \tau_x = n_z \quad \text{при } z = \zeta(x, t). \end{aligned} \quad (1.5)$$

Здесь  $\mathbf{v} = (v_x, v_z)$  — вектор скорости частиц жидкости в системе координат  $xOz$ ;  $p$  — давление;  $\rho$  — плотность;  $\mathbf{F} = (F_x, F_z)$  — вектор внешних массовых сил, действующих на жидкость;  $Re$  — число Рейнольдса;  $M$  — число Маха;  $D = \text{const} > 0$ ;  $\Pi$  — единая во всем потоке функция давления;  $\rho_*$  — заданная функция;  $\mathbf{T} = (T_n, T_\varphi)$  — вектор внешних сил, действующих на свободную поверхность жидкости  $\Gamma$ ;  $\mathbf{n} = (n_x, n_z)$ ,  $\boldsymbol{\tau} = (\tau_x, \tau_z)$  — векторы нормали и касательной к  $\Gamma$ ;  $\zeta = \zeta(x, t)$  — возвышение свободной поверхности. Причем

$$Re = \rho^* v^* l^*/\mu, \quad c = \sqrt{D} = \text{const}, \quad v^* = l^*/t^*, \quad M^2 = (v^*)^2/c^2,$$

где  $\rho^*$ ,  $v^*$ ,  $l^*$ ,  $t^*$  — характерные размеры плотности, скорости, длины и времени соответственно;  $\mu$  — динамическая вязкость жидкости;  $c$  — местная скорость звука. Условия (1.2) — начальные краевые условия задачи, (1.3) — условия убывания на бесконечности, (1.4), (1.5) — динамическое и кинематическое условия на свободной поверхности жидкости.

Решение задачи (1.1)–(1.5) зависит от двух параметров:  $M$  и  $Re$ . Асимптотика решения строится при больших числах Рейнольдса ( $Re \rightarrow \infty$ ). Для числа Маха возможны варианты:

порядок  $M$  зависит от порядка  $Re$  (при  $Re \rightarrow \infty$ ):

$$M^2 = 0 \quad ((1/\sqrt{Re})^k), \quad k \neq 0 \quad \text{при } Re \rightarrow \infty; \quad (1.6)$$

$M$  не зависит от  $Re$ :

$$M^2 = B(1/\sqrt{Re})^0 \equiv B \equiv \text{const}. \quad (1.7)$$

Выбор одного из этих вариантов влияет на выбор параметров растяжения пограничного слоя, что обсуждается ниже. В работе рассматривается вариант (1.7).

**2. Построение функций первого и второго итерационных процессов.** Решение запишем как [8]

$$\mathbf{V} = \mathbf{V}^0 + \mathbf{V}^1, \quad \Pi = \Pi^0 + \Pi^1, \quad p = p^0 + p^1, \quad \rho = \rho^0 + \rho^1, \quad \zeta = \zeta^0 + \zeta^1, \quad (2.1)$$

где  $\mathbf{V}^0$ ,  $p^0$ ,  $\Pi^0$ ,  $\zeta^0$ ,  $\rho^0$  — функции первого итерационного процесса, разыскиваемые в виде рядов

$$\mathbf{V}^0 = (v_x^0, v_z^0), \quad v_x^0 = \sum_{k=0}^N \varepsilon^k a_k(x, z, t), \quad \zeta^0 = \sum_{k=0}^N \varepsilon^k \zeta_k(x, t), \quad v_z^0 = \sum_{k=0}^N \varepsilon^k b_k(x, z, t), \quad (2.2)$$

$$p^0 = \sum_{k=0}^N \varepsilon^k p_k(x, z, t), \quad \rho^0 = \sum_{k=0}^N \varepsilon^k \rho_k(x, z, t), \quad \Pi^0 = \sum_{k=0}^N \varepsilon^k \Pi_k(x, z, t)$$

( $\varepsilon = 1/\sqrt{Re}$  — малый параметр).

Задачи для определения функций первого итерационного процесса получаются подстановкой рядов (2.2) в (1.1)–(1.5). В старшем приближении имеем уравнения Эйлера идеальной сжимаемой жидкости.

Функции  $\mathbf{V}^1$ ,  $p^1$ ,  $\Pi^1$ ,  $\zeta^1$ ,  $\rho^1$  — функции второго итерационного процесса, определенные вблизи свободной поверхности жидкости. Для их описания вводится локальная ортогональная система координат  $yO_1\varphi$ , жестко связанный со свободной поверхностью  $\Gamma$  (рис. 2).

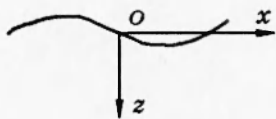


Рис. 1

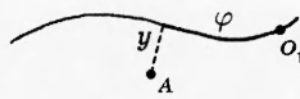


Рис. 2

В качестве начала координат (точки  $O_1$ ) выбирается произвольная точка  $\Gamma$ ,  $y$  — расстояние по нормали от точки, например,  $A$  (рис. 2) до  $\Gamma$ ,  $\varphi$  — длина дуги вдоль  $\Gamma$ . Функции  $\mathbf{V}^1, p^1, \Pi^1, \zeta^1, \rho^1$  ищутся в виде рядов

$$\begin{aligned} p^1 &= \sum_{k=N_3}^N \varepsilon^k \beta_k^0(s, \varphi, \tau), \quad \rho^1 = \sum_{k=N_3}^N \varepsilon^k \alpha_k(s, \varphi, \tau), \\ \Pi^1 &= \sum_{k=N_3}^N \varepsilon^k \beta_k(s, \varphi, \tau), \quad \zeta^1 = \sum_{k=N_4}^N \varepsilon^k \chi_k(x, \tau), \\ \mathbf{V}^1 &= (v_y^1, v_\varphi^1), \quad v_y^1 = \sum_{k=N_1}^N \varepsilon^k h_k(s, \varphi, \tau), \quad v_\varphi^1 = \sum_{k=N_2}^N \varepsilon^k g_k(s, \varphi, \tau) \end{aligned} \quad (2.3)$$

( $N, N_1, N_2, N_3, N_4$  — числа).

Векторы  $\mathbf{V}^0, \mathbf{V}^1$  представляются также как

$$\begin{aligned} \mathbf{V}^0 &= (v_y^0, v_\varphi^0), \quad \mathbf{V}^1 = (v_x^1, v_z^1), \\ v_y^0 &= \sum_{k=0}^N \varepsilon^k a_k^0(x, z, t), \quad v_\varphi^0 = \sum_{k=0}^N \varepsilon^k b_k^0(x, z, t), \\ v_x^1 &= \sum_{k=N_2}^N \varepsilon^k h_k^0(s, \varphi, \tau), \quad v_z^1 = \sum_{k=N_2}^N \varepsilon^k g_k^0(s, \varphi, \tau). \end{aligned} \quad (2.4)$$

Функции пограничного слоя  $\alpha_k, \beta_k, \beta_k^0, \chi_k, h_k, g_k$  ( $k = 0, 1, 2, \dots, N$ ) зависят от растянутой переменной

$$s = y/\varepsilon^{k_1} \quad (2.5)$$

и от «быстрого» времени

$$\tau = t/\varepsilon^{k_2} \quad (2.6)$$

( $k_1, k_2$  — числа,  $k_1 > 0, k_2 \geq 0$ ).

Выбор параметров растяжения ( $k_1$  и  $k_2$ ) осуществляется на основе анализа уравнений движения, записанных в локальной системе координат. Для построения пограничного слоя надо потребовать, чтобы порядок малости слагаемого  $(\partial^2 v_\varphi^1 / \partial s^2)$  был не меньше порядка малости слагаемых  $(\partial \Pi^1 / \partial \varphi)$ ,  $(\mathbf{V}^1, \nabla) \mathbf{V}^1$  и  $(\partial v_\varphi^1 / \partial t)$  при  $\varepsilon \rightarrow 0$ . В противном случае для определения погранслойных поправок получатся уравнения не выше первого порядка по  $s$ , в то время как имеется два граничных условия для функции  $v_\varphi^1$ . Данное противоречие делает неприемлемым этот вариант. Подставляя ряды (2.2)–(2.4) в уравнения движения,

видим, что должны выполняться следующие неравенства (при  $\varepsilon \rightarrow 0$ ):

$$\begin{aligned} \varepsilon^{N_2-k_2} \left| \frac{\partial g_{N_2}}{\partial \tau} \right| &\leq \varepsilon^{2+N_2-2k_1} \left| \frac{\partial^2 g_{N_2}}{\partial s^2} \right|, \\ \varepsilon^{N_2-k_1+N_1} \left| \frac{\partial g_{N_2}}{\partial s} \right| &\leq \varepsilon^{2+N_2-2k_1} \left| \frac{\partial^2 g_{N_2}}{\partial s^2} \right|, \\ \varepsilon^{2+N_2-2k_1} \left| \frac{\partial^2 g_{N_2}}{\partial s^2} \right| &\geq \varepsilon^{N_3} \left| \frac{\partial \beta_{N_3}}{\partial \varphi} \right|, \\ \varepsilon^{2+N_1-2k_1} \left| \frac{\partial^2 h_{N_1}}{\partial s^2} \right| &\geq \varepsilon^{N_3-k_1} \left| \frac{\partial \beta_{N_3}}{\partial s} \right|, \quad \text{если } k_2 \neq 0, \end{aligned}$$

т. е. соответственно

$$2 - 2k_1 \leq -k_2, \quad 2 - 2k_1 \leq N_1 - k_1, \quad (2.7)$$

$$2 - 2k_1 \leq N_3, \quad N_1 + 2 - 2k_1 \leq N_3 - k_1, \quad \text{если } k_2 \neq 0.$$

Для сохранения уравнения неразрывности в растянутых переменных необходимо, чтобы члены  $(\partial v_\varphi^1 / \partial \varphi)$  и  $(\partial v_y^1 / \partial s)$  ( $(\partial \Pi^1 / \partial t)$  и  $(\partial v_\varphi^1 / \partial \varphi)$ ,  $(\partial v_y^1 / \partial s)$  при  $k_2 \neq 0$ ) имели одинаковый порядок малости (при  $\varepsilon \rightarrow 0$ ). Отсюда находим

$$N_3 - k_2 = N_1 - k_1, \quad \text{если } k_2 \neq 0; \quad N_2 = N_1 - k_1. \quad (2.8)$$

Ряды (2.2)–(2.4) подставим во второе граничное условие (1.4). Разложив в полученном соотношении функции, зависящие от «медленного» времени  $t$ , в ряды Тейлора в точке  $t = 0$ , видим, что для выполнения этого граничного условия в старшем приближении (при  $\varepsilon \rightarrow 0$ ) должно выполняться равенство

$$\varepsilon^{N_2-k_1} \frac{\partial g_{N_2}}{\partial s} + \varepsilon^{k_2} \tau \frac{\partial}{\partial t} \left( \frac{\partial a_0^0}{\partial y} \right)_{t=y=0} = 0 \quad \text{при } T_\varphi \equiv 0,$$

или

$$\varepsilon^{N_2-k_1+2} \frac{\partial g_{N_2}}{\partial s} = \varepsilon^{k_2} \tau \frac{\partial T_\varphi}{\partial t} \Big|_{t=y=0} \quad \text{при } T_\varphi \not\equiv 0,$$

т. е.

$$N_2 = k_1 + k_2 \quad \text{при } T_\varphi \equiv 0; \quad (2.9)$$

$$N_2 = -2 + k_1 + k_2 \quad \text{при } T_\varphi \not\equiv 0. \quad (2.10)$$

Из кинематического условия (1.5) вытекает

$$N_4 - k_2 > \min(N_1, N_2).$$

Используя формулы (2.7)–(2.10), получим следующие возможные варианты растяжения пограничного слоя:

$$k_2 = 0, \quad k_1 = 4/3, \quad N_1 = 2/3, \quad N_3 = 0, \quad N_2 = -2/3, \quad (2.11)$$

а также класс совпадающих между собой параметров растяжения, удовлетворяющих соотношениям

$$\begin{aligned} k_1 &> 2, \quad k_2 = 2k_1 - 2, \quad N_2 = -4 + 3k_1, \\ N_1 &= -4 + 4k_1, \quad N_3 = -6 + 5k_1; \end{aligned} \quad (2.12)$$

$$k_2 = 2, \quad k_1 = 2, \quad N_1 = 4, \quad N_3 = 4, \quad N_2 = 2. \quad (2.13)$$

Решения, соответствующие (2.12), удовлетворяют одинаковым уравнениям и после перехода к нерастянутым переменным дают одинаковый результат. Здесь строятся асимптотики (2.12), (2.13) и доказывается их эквивалентность на малых временах.

**3. Случай  $k_1 > 2, k_2 = 2k_1 - 2$ .** Рассмотрим, например, набор параметров растяжения:

$$k_2 = 4, \quad k_1 = 3, \quad N_1 = 8, \quad N_3 = 9, \quad N_2 = 5.$$

Подставим (2.2)–(2.4) в уравнения движения. Учтем результаты первого итерационного процесса. Разложим все функции, зависящие от  $t = \tau\varepsilon^4$  и  $y = s\varepsilon^3$ , в ряды Тейлора в точке  $t = 0$  ( $y = 0$ ). Собирая коэффициенты при одинаковых степенях  $\varepsilon$ , получим уравнения пограничного слоя:

$$\text{при } \varepsilon^0 \quad \rho_* \frac{\partial g_5}{\partial \tau} = \frac{\partial^2 g_5}{\partial s^2}, \quad \rho_* \frac{\partial h_8}{\partial \tau} = \frac{4}{3} \frac{\partial^2 h_8}{\partial s^2}, \\ M^2 \left( \frac{\partial \beta_9}{\partial \tau} + g_5 \frac{\partial \rho_0}{\partial \varphi} \Big|_{y=t=0} \right) + \frac{\partial g_5}{\partial \varphi} + \frac{\partial h_8}{\partial s} = 0, \quad (3.1)$$

$$\beta_9 = D \ln \beta_9^0, \quad \beta_9^0 = D\alpha_9;$$

.....

$$\text{при } \varepsilon^n \quad \rho_* \frac{\partial g_{n+4}}{\partial \tau} = \frac{\partial^2 g_{n+4}}{\partial s^2} + E_1, \quad \rho_* \frac{\partial h_{n+7}}{\partial \tau} = \frac{4}{3} \frac{\partial^2 h_{n+7}}{\partial s^2} + E_2, \\ M^2 \left( \frac{\partial \beta_{n+8}}{\partial \tau} + g_{n+4} \frac{\partial \rho_0}{\partial \varphi} \Big|_{y=t=0} \right) + \frac{\partial g_{n+4}}{\partial \varphi} + \frac{\partial h_{n+7}}{\partial s} = E_3, \quad (3.2)$$

$$\beta_{n+8} = E_4, \quad \beta_{n+8}^0 = D\alpha_{n+8}.$$

Здесь  $H_1$  — коэффициент Ламэ локальной системы координат  $yO_1\varphi$ :  $H_1 = 1 + y\alpha(\varphi)$ ;  $\alpha(\varphi)$  — кривизна свободной поверхности жидкости; функции  $E_1, E_2, E_3, E_4$  известны из решения задач при  $k = 0, 1, 2, \dots, n-1$ .

Подставляя ряды (2.2)–(2.4) в граничные и начальные условия, получим при  $\varepsilon^k$

$$a_k = b_k = 0, \quad x^2 + z^2 \rightarrow \infty, \quad k = 0, 1, 2, \dots; \quad (3.3)$$

$$\begin{cases} a_k = b_k = 0, & t = 0, \\ \rho_k = \begin{cases} 0, & k \neq 0, \\ \rho_*, & k = 0, \end{cases} & p_k = \begin{cases} 0, & k \neq 0, \\ D\rho_*, & k = 0, \end{cases} \quad t = 0; \end{cases} \quad (3.4)$$

$$g_k = h_{k+3} = \alpha_{k+4} = \beta_{k+4} = \beta_{k+4}^0 = 0, \quad k = 5, 6, \dots, \quad t = 0; \quad (3.5)$$

$$p_k + \beta_k^0 = (T_a)_k + 2 \left( \frac{\partial h_{k+1}}{\partial s} + \frac{\partial a_{k-2}^0}{\partial y} \right) - \frac{2}{3} \left( \frac{\partial g_{k-2}}{\partial \varphi} + \frac{\partial b_{k-2}^0}{\partial \varphi} \right) + \\ + \frac{\partial h_{k+1}}{\partial s} + \frac{\partial a_{k-2}^0}{\partial y} + \frac{1}{\alpha} (h_{k-2} + a_{k-2}^0), \quad y = s = 0; \quad (3.6)$$

$$\frac{\partial h_{k-2}}{\partial \varphi} + \frac{\partial g_{k+1}}{\partial s} + \sum_{4n+j=k-2} \frac{\partial}{\partial t} \left( \frac{\partial a_j^0}{\partial \varphi} + \frac{\partial b_j^0}{\partial y} + \frac{1}{\alpha} a_j^0 \right) \tau^n \frac{1}{n!} = (T_\varphi)_k, \quad y = s = 0, \quad (3.7)$$

где

$$(T_\varphi)_k = \begin{cases} 0, & k \neq 4n, \\ \frac{\tau^{k/2}}{(k/2)!} \left. \frac{\partial^{k/2} T_\varphi}{\partial t^{k/2}} \right|_{t=0}, & k = 4n, \end{cases} \quad n = 0, 1, \dots ;$$

$$d\zeta_k/dt = \dot{\zeta}_k, \quad d\chi_k/d\tau = g_{k-4}^0, \quad y = s = 0. \quad (3.8)$$

В условие (3.6) входят функции, зависящие как от «медленного» времени  $t = \tau \varepsilon^4$ , так и от «быстрого»  $\tau$ . Разобьем условие (3.6) на два: в одно войдут функции «медленного» времени  $t$ , во второе — все остальные. В результате имеем

$$p_k = (T_n)_k + 2 \frac{\partial a_{k-2}^0}{\partial y} - \frac{2}{3} \left( \frac{\partial b_{k-2}^0}{\partial \varphi} + \frac{\partial a_{k-2}^0}{\partial y} + \frac{a_{k-2}^0}{\alpha} \right), \quad y = 0; \quad (3.9)$$

$$\beta_k^0 = 2 \frac{\partial h_{k+1}}{\partial s} - \frac{2}{3} \left( \frac{\partial g_{k-2}}{\partial \varphi} + \frac{\partial h_{k+1}}{\partial s} + \frac{1}{\alpha} h_{k-2} \right), \quad s = 0. \quad (3.10)$$

Алгоритм решения задачи следующий:

- 1) решаются уравнения Эйлера с условиями (3.3), (3.4), (3.8), (3.9) ( $k = 0$ ) для определения  $\rho_0$ ,  $\Pi_0$ ,  $\zeta_0$ ,  $a_0$ ,  $b_0$ ,  $p_0$ ;
- 2) задача (3.1), (3.5), (3.7), (3.8), (3.10) ( $k = 2, 4$ ) с условиями убывания на бесконечности служит для определения  $g_5$ ,  $h_8$ ,  $\alpha_9$ ,  $\beta_9$ ,  $\beta_9^0$ ,  $\chi_9$ ;
- 3) далее повторяется алгоритм, начиная с первого шага, при  $k = k + 1$ .

Остановимся подробнее на нахождении главных членов погранслойных поправок к решению. Используя функцию Грина, решение задачи (3.1) запишем в виде

$$g_5 = -\frac{2}{\rho_*} \int_0^\tau t \left. \frac{\partial T_\varphi}{\partial t} \right|_{t=0} R(s, \tau - t) dt,$$

$$h_8 = -\frac{4}{3\rho_*} \int_0^\tau \left. \frac{\partial g_5}{\partial \varphi} \right|_{s=0} R(s, (\tau - t)4/3) dt,$$

где

$$R(s, r) = (4\pi r/\rho_*)^{(-1/2)} \exp(-s^2/(4r/\rho_*)) \quad (\pi = 3,14159265\dots). \quad (3.12)$$

4. Случай  $k_2 = 2$ ,  $k_1 = 2$ . Аналогично п. 3 получим задачи

$$\text{при } \varepsilon^0 \quad \rho_* \frac{\partial g_2}{\partial \tau} = \frac{\partial^2 g_2}{\partial s^2}, \quad \rho_* \frac{\partial h_4}{\partial \tau} = -\rho_* \frac{\partial \beta_4}{\partial s} + \frac{4}{3} \frac{\partial^2 h_4}{\partial s^2},$$

$$M^2 \left( \frac{\partial \beta_4}{\partial \tau} + g_2 \left. \frac{\partial \rho_0}{\partial \varphi} \right|_{y=t=0} \right) + \frac{\partial g_2}{\partial \varphi} + \frac{\partial h_4}{\partial s} = 0, \quad (4.1)$$

$$\beta_4 = D \ln \beta_4^0, \quad \beta_4^0 = D \alpha_4;$$

.....

$$\text{при } \varepsilon^n \quad \rho_* \frac{\partial g_{n+2}}{\partial \tau} = \frac{\partial^2 g_{n+2}}{\partial s^2} + E_1, \quad \beta_{n+4}^0 = D \alpha_{n+4},$$

$$\rho_* \frac{\partial h_{n+4}}{\partial \tau} = -\rho_* \frac{\partial \beta_{n+4}}{\partial s} + \frac{4}{3} \frac{\partial^2 h_{n+4}}{\partial s^2} + E_2, \quad \beta_{n+4} = E_4, \quad (4.2)$$

$$M^2 \left( \frac{\partial \beta_{n+4}}{\partial \tau} + g_{n+2} \frac{\partial \rho_0}{\partial \varphi} \Big|_{y=t=0} \right) + \frac{\partial g_{n+2}}{\partial \varphi} + \frac{\partial h_{n+4}}{\partial s} = E_3.$$

Здесь функции  $E_k$  ( $k = 1, 2, 3, 4$ ) известны. Граничные условия имеют вид (3.3)–(3.10).

Докажем эквивалентность уравнений (3.1), (3.2) и (4.1), (4.2) на малых временах ( $t < \varepsilon^4$ ). Решим задачи (3.1), (4.1), используя метод [9]. Сделаем замену переменных

$$r = s/\sqrt{\tau}, \quad \tau_1 = \sqrt{\tau}.$$

Решение находим в виде

$$\begin{aligned} g_5(s, \varphi, \tau) &= G_0(r, \varphi) + \tau_1 G_1(r, \varphi) + \dots, \\ h_8(s, \varphi, \tau) &= H_0(r, \varphi) + \tau_1 H_1(r, \varphi) + \dots \end{aligned} \quad (4.3)$$

Подставим (4.3) в (3.1). Собирая коэффициенты при одинаковых степенях  $\tau_1$ , имеем задачу для первых отличных от нуля членов разложений (4.3):

$$\begin{aligned} G_2 - \frac{r}{2} \frac{\partial G_2}{\partial r} &= \frac{1}{\rho_*} \frac{\partial^2 G_2}{\partial r^2}, \\ H_2 - \frac{r}{2} \frac{\partial H_2}{\partial r} &= \frac{1}{\rho_*} \frac{\partial^2 H_2}{\partial r^2}. \end{aligned} \quad (4.4)$$

Проводя аналогичную процедуру с задачей (4.1), получим в точности уравнения (4.4). Граничные условия обеих задач одинаковы. Следовательно, главные члены асимптотик (2.12) и (2.13) на малых временах (формулы (4.3)) после перехода к переменным  $y, \varphi$  совпадают, эти асимптотики эквивалентны, и можно ограничиться изучением асимптотик п. 3.

**5. Касательная нагрузка на свободной границе.** Для иллюстрации построенных в п. 3 асимптотик рассмотрим задачу о движении первоначально покоящейся жидкости под действием касательных напряжений, действующих на ее свободную границу. Пусть

$$\begin{aligned} F_x = F_z &= 0 \quad \text{в (1.1),} \\ T_n &= 0, \quad T_\varphi = f(t, \varphi) \quad \text{в (1.4),} \\ f(0, \varphi) &= 0, \quad \rho_* = \text{const} \quad \text{в (1.2).} \end{aligned} \quad (5.1)$$

Здесь функция  $f$  задана. Согласно пп. 1–3, старшие члены асимптотических разложений решения имеют вид (формулы 3.11))

$$\begin{aligned} g_5(s/\varepsilon^3, \varphi, t/\varepsilon^4) &= -\frac{2}{\rho_*} \int_0^{t/\varepsilon^4} \tau \frac{\partial T_\varphi}{\partial t} \Big|_{t=0} R(s, t/\varepsilon^4 - \tau) d\tau, \\ h_8(s/\varepsilon^3, \varphi, t/\varepsilon^4) &= -\frac{4}{3\rho_*} \int_0^{t/\varepsilon^4} \frac{\partial g_5}{\partial \varphi} \Big|_{s=0} R(s, (t/\varepsilon^4 - \tau)4/3) d\tau, \\ \beta_9(s/\varepsilon^3, \varphi, t/\varepsilon^4) &= -\frac{1}{M^2} \int_0^{t/\varepsilon^4} \left( \frac{\partial g_5}{\partial \varphi} \Big|_{s=0} + \frac{\partial h_8}{\partial s} \Big|_{s=0} + M^2 g_5 \frac{\partial \rho_0}{\partial \varphi} \Big|_{y=t=0} \right) d\tau, \end{aligned} \quad (5.2)$$

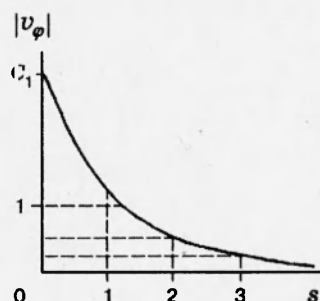


Рис. 3

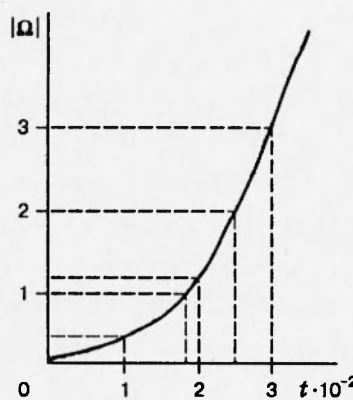


Рис. 4

$$\chi_9(\varphi, t/\varepsilon^4) = \int_0^{t/\varepsilon^4} g_5^0|_{s=0} d\tau,$$

где функция  $R$  определяется по формуле (3.12).

Функции первого итерационного процесса тождественно равны нулю в любом (!) приближении (в первом приближении есть константы) в силу разделения граничного условия (3.6) на два: (3.9), (3.10). В этом состоит отличие от несжимаемой жидкости [5]. Решение задачи имеет вид

$$\begin{aligned} \Pi &= D \ln(D\rho_*) + \Pi^1 = D \ln(D\rho_*) + \varepsilon^9 \beta_9 + \varepsilon^{10} \beta_{10} + \dots, \\ \mathbf{V} &= (v_y, v_\varphi), \quad \zeta = \varepsilon^9 \zeta_9 + \varepsilon^{10} \zeta_{10} + \dots, \\ v_y &= v_y^1 = \varepsilon^8 h_8 + \varepsilon^9 h_9 + \dots, \quad v_\varphi = v_\varphi^1 = \varepsilon^5 g_5 + \varepsilon^6 g_6 + \dots \end{aligned}$$

и носит погранслойный характер.

На рис. 3 показан график касательной составляющей вектора скорости (функции  $|v_\varphi^1|$ ) в фиксированной точке  $\varphi = \varphi_*$ ,  $t = t_*$ . Здесь

$$C_1 = \frac{1}{\varepsilon \sqrt{\rho_* \pi}} \int_0^{t_*} \tau / \sqrt{t_* - \tau} d\tau.$$

Поведение функций  $v_y^1$  и  $\Pi^1$  аналогично поведению функции  $v_\varphi^1$  (убывание по экспоненте при удалении от свободной границы).

На рис. 4 изображен график вихревой скорости (функции  $|\Omega| = |\text{rot } \mathbf{V}|$ ) в фиксированной точке  $\varphi = \varphi_*$ ,  $y = y_*$  (завихренность растет по экспоненте с увеличением времени). Графики на рис. 3, 4 приведены для  $f(\varphi, t) = t$ .

Построить асимптотику задачи (1.1)–(1.5) в случае (5.1) методами [1–5] не удается. Нужны дополнительные предположения о несжимаемости жидкости, стационарности или маловязкости течения, малости касательных нагрузок ( $f = O(1)$  при  $\varepsilon \rightarrow 0$ ). Методы, рассмотренные в данной работе, позволили выписать явные формулы для главных членов асимптотических разложений решения при малых  $t$  (формулы (5.2)) без дополнительных предположений.

Автор благодарит проф. Э. Н. Потетюнко за постановку задачи и обсуждение полученных результатов.

**ЛИТЕРАТУРА**

1. Батищев В. А. Асимптотика неравномерно нагретой свободной границы капиллярной жидкости при больших числах Марангони // Прикладная математика и механика. 1989. Т. 53, вып. 3. С. 425–432.
2. Батищев В. А. Об асимптотике течений маловязкой жидкости при действии касательных напряжений на свободной границе // ПМТФ. 1987. № 5. С. 101–107.
3. Батищев В. А. Пограничные слои вблизи плоской свободной границы жидкости, вызванные осесимметричными касательными напряжениями // Прикладная математика и механика. 1993. Т. 57, вып. 5. С. 60–67.
4. Pukhnachov V. V. Boundary layers near free surfaces // Computational and Asymptotics Methods for Boundary and Interior Layers. Dublin: Bool Press, 1982.
5. Потетюнко Э. Н., Срубщик Л. С. Асимптотический анализ волновых движений жидкости со свободной границей // Прикладная математика и механика. 1970. Т. 34, вып. 5. С. 45–52.
6. Лойцянский Л. Г. Механика жидкости и газа. М.: Наука, 1970.
7. Седов Л. И. Механика сплошной среды. М.: Наука, 1970.
8. Вишик М. И., Люстерник Л. А. Регулярное вырождение и пограничный слой для линейных дифференциальных уравнений с малым параметром // Укр. мат. журн. 1957. Т. 12, вып. 5. С. 3–12.
9. Жуков М. Ю., Мкртычьян А. А., Перевозкин Ю. М. и др. Термоупругая динамическая задача для шара, покрытого многослойной оболочкой // Изв. Сев.-Кавк. науч. центра высш. шк. Естеств. науки. 1976. Вып. 3. С. 27–32.
10. Кочин Н. Е., Кибель И. А., Розе Н. В. Теоретическая гидромеханика. М., 1963. Ч. 1, 2.

Поступила в редакцию 15/II 1994 г.,  
в окончательном варианте — 9/I 1995 г.

---